

УДК 662.612.31

ВАЛИДАЦИЯ УПРОЩЕННОГО КИНЕТИЧЕСКОГО МЕХАНИЗМА ДЛЯ МОДЕЛИРОВАНИЯ РЕЖИМОВ НАКЛОННЫХ ДЕТОНАЦИОННЫХ ВОЛН В АЦЕТИЛЕНОКИСЛОРОДНЫХ СМЕСЯХ

И. А. Бедарев, В. М. Темербеков

Институт теоретической и прикладной механики им. С. А. Христиановича СО РАН,
630090 Новосибирск, bedarev@itam.nsc.ru

Представлена методология расчета задачи об инициировании детонации в ацетиленокислородных смесях сферой малого диаметра, летящей со скоростью, превышающей скорость детонации Чепмена — Жуге. Выполнено тестирование приведенной кинетической схемы химических реакций по экспериментальным данным о времени задержки воспламенения, скорости распространения детонации и размерах детонационной ячейки смеси. В экспериментах реализованы режимы наклонной детонации и горения ацетиленокислородной смеси, разбавленной аргоном, в диапазоне давления смеси $21.1 \div 60.7$ кПа. Проведена оценка энергии инициирования детонации быстролетящим телом, которая показала соответствие аналитических, расчетных и экспериментальных данных. На основе этой оценки выполнены расчеты инициирования наклонной детонации быстролетящим телом в ацетиленовоздушной смеси. Получена корреляция между реализуемыми численно режимами течения и аналитическими оценками.

Ключевые слова: быстролетящее тело, наклонная детонация, численное моделирование, детонационная ячейка, ацетилен — кислород, ацетилен — воздух, энергия инициирования.

DOI 10.15372/FGV2023.9409

EDN IIWTUO

ВВЕДЕНИЕ

Настоящее исследование является продолжением работ [1–3], в которых инициирование детонации быстролетящим телом (БЛТ) осуществлялось в водородокислородных смесях. На этих задачах были отложены численный алгоритм и математическая модель в рамках программного комплекса ANSYS Fluent, а также приведенная кинетическая схема химических реакций горения и детонации водорода в кислороде.

Актуальность исследований данной задачи связана с определением условий инициирования и стабилизации детонации, поиском стационарных решений, нахождением зависимости установившейся скорости распространения от начальных условий [4]. Подобного рода исследованиям посвящено множество работ, берущих свое начало с середины прошедшего столетия и продолжающихся по сей день [5–9]. Во многих исследованиях таких задач в качестве рабочего газа используются водородокислородные смеси. При этом, несмотря на общую тенденцию к декарбонизации, существует необходимость создания и отладки численных алгоритмов и упрощенных кинетических схем для углеводородов и, в частности, для таких газов, как ацетилен. Этот газ и его смеси применяются для газовой сварки, резки металлов, в качестве источника света, для получения технического углерода, уксусной кислоты, этилового спирта, различных растворителей, пластмасс, каучука и т. д. [10]. Сжиганием ацетилена также получают различные формы углерода [11–13], в том числе

ультрадисперсного и нанодисперсного углерода, образующегося при детонационном горении [14, 15]. Ацетиленокислородные смеси также используются для детонационного напыления различных материалов [16]. Авторы цитированных выше и многих других работ отмечают, что использование смесей на основе ацетилена требует строгого соблюдения техники безопасности в связи с высокой детонационной способностью ацетилена как в смеси с окислителем [17], так и без него [18].

Таким образом, актуальным представляется изучение вопросов взрыво- и пожаробезопасности при использовании ацетиленсодержащих соединений [19], в частности численное моделирование горения и детонации ацетилена, а также создание и отладка кинетических схем химических реакций его горения [20]. Решение этих задач позволит в будущем проводить расчеты сложных явлений при горении и детонации ацетиленсодержащих смесей и получать достоверные результаты с максимальной экономией расчетных ресурсов.

Опыт предыдущих исследований [21] показал, что для адекватного воспроизведения экспериментальных картин течения и получения достоверных численных результатов [1, 2] вполне возможно использовать простые кинетические схемы с одной реакцией. Такой подход позволяет существенно экономить вычислительные ресурсы и проводить большее количество вариантов расчетов по сравнению с использованием детальных механизмов. Таким образом, целью настоящей работы является создание численного алгоритма расчета детонационных течений с использованием упрощенного одностадийного кинетического механизма горения ацетилена с кислородом и воздухом. Решение этой задачи позволит в будущем получать достоверные результаты по горению и детонации ацетиленсодержащих смесей с максимальной экономией расчетных ресурсов.

1. МАТЕМАТИЧЕСКАЯ МОДЕЛЬ И ЧИСЛЕННЫЙ АЛГОРИТМ

Моделирование проводилось в двумерной осесимметричной постановке с использованием уравнений Навье — Стокса для многокомпонентной смеси:

$$\frac{\partial \rho Y_i}{\partial t} + \nabla(\rho \vec{v} Y_i) = -\nabla \vec{j}_i + \chi_i, \quad i = 1, \dots, 4, \quad (1)$$

$$\frac{\partial}{\partial t}(\rho \vec{v}) + \nabla(\rho \vec{v} \vec{v}) = -\nabla p + \nabla(\bar{\tau}), \quad (2)$$

$$\frac{\partial}{\partial t}(\rho E) + \nabla(\vec{v}(\rho E + p)) = \nabla \left(k \nabla T - \sum_{i=1}^n h_i \vec{j}_i + \bar{\tau} \vec{v} \right). \quad (3)$$

Здесь ρ — плотность; \vec{v} — вектор скорости; Y_i — массовая концентрация i -го компонента смеси; p — статическое давление; k — теплопроводность; h — энталпия; \vec{j}_i — диффузионный поток i -го компонента газовой смеси; χ_i — источниковый член за счет химической реакции; $\bar{\tau}$ — тензор напряжений, выражаемый как

$$\bar{\tau} = \mu \left[(\nabla \vec{v} + \nabla \vec{v}^T) - \frac{2}{3} \nabla \vec{v} I \right],$$

где μ — динамическая вязкость, I — единичный тензор; дифференциальный оператор ∇ задается для двумерного случая осевой симметрии; E — полная энергия, определяемая в виде

$$E = h - \frac{p}{\rho} + \frac{v^2}{2};$$

h — энталпия смеси, рассчитываемая через сумму энталпий образования отдельных компонентов:

$$h = \sum_{i=1}^n Y_i h_i, \quad h_i = \int_{T_0}^T c_{p,i} dT,$$

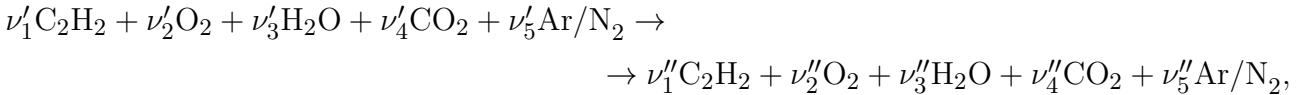
Y_i , h_i и $c_{p,i}$ — массовая концентрация, энталпия и теплоемкость i -го компонента смеси.

Эта система уравнений дополнялась уравнением состояния многокомпонентного идеального газа:

$$p = \rho \frac{R}{M_w} T,$$

а также SST-модификацией $k-\omega$ -модели турбулентности. Здесь R — универсальная газовая постоянная, M_w — молярная масса смеси газов.

Химические превращения описывались с помощью приведенной кинетической схемы горения ацетилена. Эта схема аналогична разработанному и отлаженному авторами ранее упрощенному механизму горения водорода [21, 22]. Для используемой в настоящей работе кинетики горение смеси ацетилена и кислорода описывалось одной интегральной необратимой брутто-реакцией:



где ν — стехиометрические коэффициенты, определяющие состав смеси: $\nu'_1 = 1$, $\nu'_2 = 2.5$, $\nu'_3 = \nu'_4 = 0$, $\nu''_1 = \nu''_2 = 0$, $\nu''_3 = 1$, $\nu''_4 = 2$, $\nu'_5 = \nu''_5 = 3.5$ (для Ar), $\nu'_5 = \nu''_5 = 9.5$ (для N₂). Уравнения химической кинетики можно записать в следующем виде:

$$\chi_i = -\nu_i \mu_i \chi, \quad i = 1, \dots, 4, \quad (4)$$

$\nu_i = \nu'_i - \nu''_i$, μ_i — молярная масса i -го компонента, г/моль, χ — скорость химической реакции, зависящая от плотности, концентрации и температуры смеси, $\chi = k T^w \left(\frac{\rho Y_1}{\mu_1} \right)^m \left(\frac{\rho Y_2}{\mu_2} \right)^n \exp \left(-\frac{E_a}{RT} \right)$. Константами, которые нужно определить в этой модели, являются: k — предэкспоненциальный множитель, E_a — энергия активации, m , n , w — показатели степени, Q — теплота химической реакции.

Задача решалась в пакете ANSYS Fluent. Для аппроксимации по времени использовалась неявная схема второго порядка, для пространственной аппроксимации — противопотоковая схема второго порядка, метод расщепления вектора потока — AUSM. С целью экономии вычислительных ресурсов в расчетах использовалась подвижная адаптивная сетка, которая сгущалась по градиенту плотности.

2. ВАЛИДАЦИЯ КИНЕТИЧЕСКОЙ СХЕМЫ ХИМИЧЕСКИХ РЕАКЦИЙ

Для корректного моделирования задач об инициировании детонации необходимо отладить используемую кинетическую схему химических реакций по времени задержки воспламенения t_{ign} , скорости детонационной волны D , а также по размеру λ детонационной ячейки смеси. Правильное воспроизведение этих параметров позволяет получать сложные режимы течения, наблюдаемые экспериментально. На рис. 1 представлены результаты верификации описанной выше кинетической схемы по экспериментальной [23–26] зависимости времени задержки воспламенения стехиометрической ацетиленокислородной смеси, разбавленной аргоном или азотом, от температуры T . Отметим, что эксперименты [24, 26]

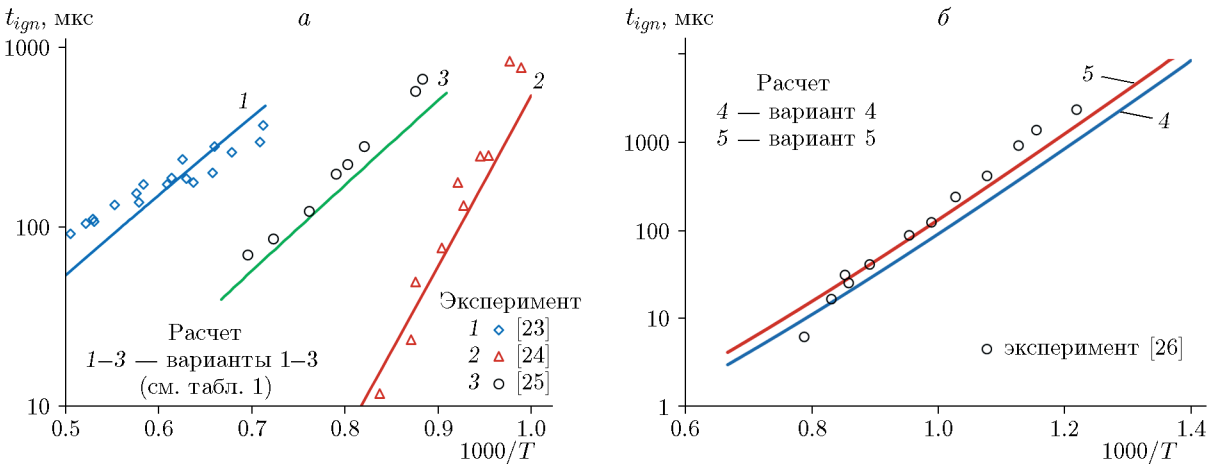


Рис. 1. Валидация кинетической схемы по экспериментальным данным о времени задержки воспламенения ацетиленокислородной смеси, разбавленной аргоном (а) [23–25], и ацетиленовоздушной смеси [26] (б)

Таблица 1

Константы кинетической схемы в различных вариантах расчета

Вариант расчета	k	E_a , кДж/моль	m	n	w
1	$3.0 \cdot 10^6$	100	0.95	0.9	1.1
2	$2.0 \cdot 10^6$	120	0.95	0.9	1.1
3	$1.8 \cdot 10^7$	110	0.95	0.9	1.1
4	$1.8 \cdot 10^6$	110	0.95	0.9	1.1
5	$0.8 \cdot 10^6$	110	0.9	0.85	1.1

проводились при повышенных давлениях p . Значения констант для всех расчетных случаев приведены в табл. 1. Показано, что варьированием этих констант при заданных массовых концентрациях и температуре можно получить хорошее согласование расчетных и экспериментальных значений времени задержки воспламенения.

Далее проводился подбор тепловыделения реакции для корректного моделирования скорости распространения детонационной волны (ДВ). На рис. 2 представлена зависимость скорости ДВ от массового содержания ацетилена в воздухе, построенная по экспериментальным [27] и расчетным данным. Анализ полученных результатов позволяет сделать вывод о том, что корректное предсказание скорости детонации возможно как применяющихся в зависимости от температуры значениях коэффициентов теплоемкости, так и при постоянных ее значениях. В случае независимости теплоемкости от температуры энталпия образования веществ умножалась на коэффициент 0.56, а в случае зависимости теплоемкости от температуры — на 0.71. Подбор тепловыделения позволяет правильно воспроизвести скорость ДВ в бедных и стехиометрических смесях, а для богатых смесей расчетные значения скорости оказываются заниженными. Также проведена валидация по скорости распространения ДВ в ацетиленокислородной смеси, разбавленной аргоном. Нужно отметить, что тепловыделение следует корректировать при изменении химического состава смеси. В экспериментальной работе [28] приведены результаты измерения скорости ДВ в ацетиленокислородной смеси при начальном давлении 21 ÷ 61 кПа. Ни-

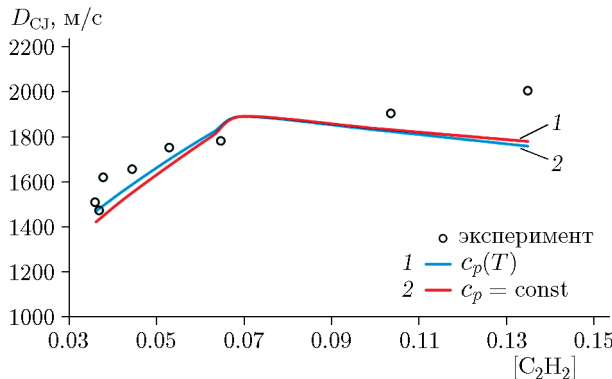


Рис. 2. Зависимость скорости распространения детонационной волны в ацетилено-воздушной смеси от массового содержания C_2H_2

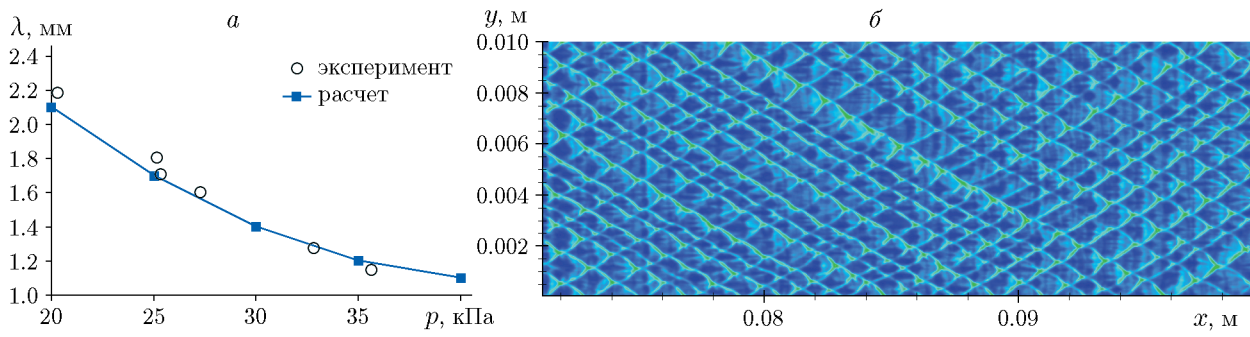


Рис. 3. Зависимость размера детонационной ячейки ацетиленокислородной смеси, разбавленной аргоном, от начального давления (а) и поля максимумов плотности ацетиленокислородной смеси, разбавленной аргоном, при $p_{st} = 40$ кПа (б)

же, в § 3, будет проведено сравнение расчетных данных с результатами эксперимента, которое демонстрирует в том числе корректное предсказание скорости распространения детонации в стехиометрической ацетиленокислородной смеси, разбавленной аргоном. Кроме того, для подбора тепловыделения можно использовать результаты расчетов скорости ДВ с применением детальных кинетических схем.

Выполнена валидация кинетической схемы и алгоритма расчета размера детонационной ячейки. Из рис. 3 следует, что для стехиометрической ацетиленокислородной смеси, разбавленной аргоном, результаты измерения размера детонационной ячейки в экспериментах [29] при различных начальных давлениях хорошо согласуются с расчетом. На рис. 3 представлены траектории тройных точек в ацетиленокислородной смеси при начальном давлении 40 кПа. Видно, что в результате расчета удается добиться не только правильного

Таблица 2

Размеры детонационной ячейки в ацетиленовоздушной смеси

Смесь	ϕ	T_{st} , К	p_{st} , кПа	λ , мм	Источник
$C_2H_2 +$ воздух	1	293	101.3	9.2	[30]
$C_2H_2 +$ воздух	1.03	293	101.3	5.8	[31]
$C_2H_2 +$ воздух	1	298.15	101.3	5.3	[32]

Таблица 3

Размеры детонационной ячейки в стехиометрической ацетиленокислородной смеси, разбавленной азотом

Смесь	$K, \%$	$T_{st}, \text{К}$	$p_{st}, \text{кПа}$	$\lambda, \text{мм}$	Источник
$\text{C}_2\text{H}_2 + \text{O}_2 + \text{N}_2$	74.7	293	101.3	11.4	[33]
$\text{C}_2\text{H}_2 + \text{O}_2 + \text{N}_2$	73.4	293	101.3	12.2	[34]
$\text{C}_2\text{H}_2 + \text{O}_2 + \text{N}_2$	75.2	293	101.3	11.9	[35]

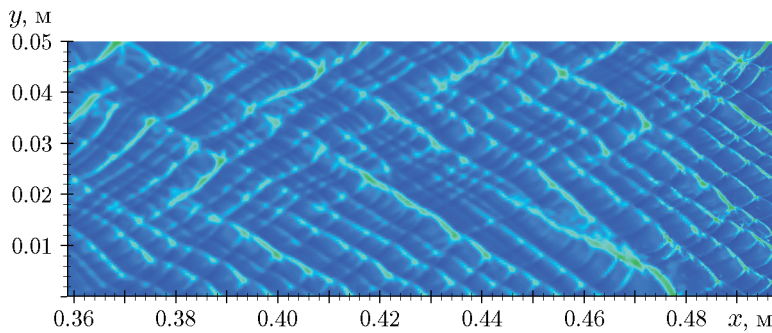


Рис. 4. Поля максимумов плотности ацетиленовоздушной смеси при $p_{st} = 100 \text{ кПа}$

размера детонационной ячейки, но и получить достаточно регулярную ячеистую структуру, характерную для смесей, сильно разбавленных аргоном.

Для ацетиленовоздушной смеси (ацетиленокислородной, разбавленной азотом) не удалось найти экспериментальных данных при различных начальных давлениях. В табл. 2, 3 представлены данные о размерах λ детонационной ячейки в ацетиленовоздушной смеси при начальном давлении 101.3 кПа [30–32] и в стехиометрической ацетиленокислородной смеси, разбавленной азотом до значений, близких к воздуху [33–35]. Анализ этих данных (ϕ — коэффициент избытка топлива, p_{st} , T_{st} — начальные давление и температура, K — степень разбавления) позволяет сделать вывод о значительной нерегулярности детонационной ячейки в ацетиленовоздушной смеси, размер ячейки варьируется от 5 до 12 мм. На рис. 4 представлены траектории тройных точек для ацетиленовоздушной смеси при начальном давлении 100 кПа. Результаты расчета показывают наличие нерегулярности детонационной ячейки, диапазон ее размеров 5 \div 10 мм.

В результате валидации кинетической схемы химических реакций горения ацетилена в кислороде получены следующие значения констант: $k = 1.8 \cdot 10^9$, $E_a = 110 \text{ кДж/моль}$, $w = 1.1$, $m = 0.95$, $n = 0.9$.

3. РЕЖИМЫ НАКЛОННЫХ ДВ И ОЦЕНКА ЭНЕРГИИ ИНИЦИРОВАНИЯ ДЕТОНАЦИИ

Для проверки адекватности математической модели и численного алгоритма, как и в наших предыдущих исследованиях [1, 2], за основу была взята работа [28], в которой приведены результаты экспериментальных исследований данными авторами режимов инициирования наклонных ДВ. В работе [28] инициирование ДВ осуществлялось в стехиометрической ацетиленокислородной смеси, разбавленной аргоном. Скорость полета БЛТ превышала скорость Чепмена — Жуге D_{CJ} для используемой смеси. В расчетной модели тело считается неподвижным (рис. 5), а на вход в область подается предварительно перемешанная стехиометрическая ацетиленокислородная смесь со следующими параметрами:

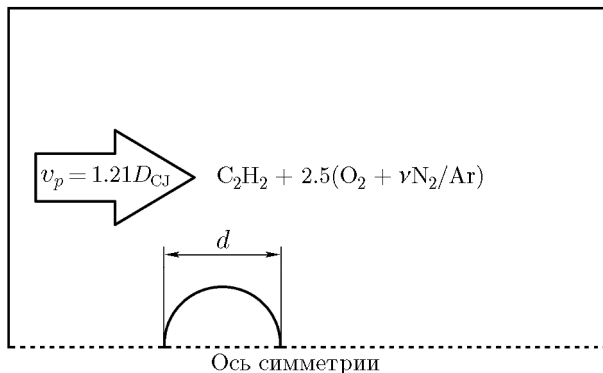
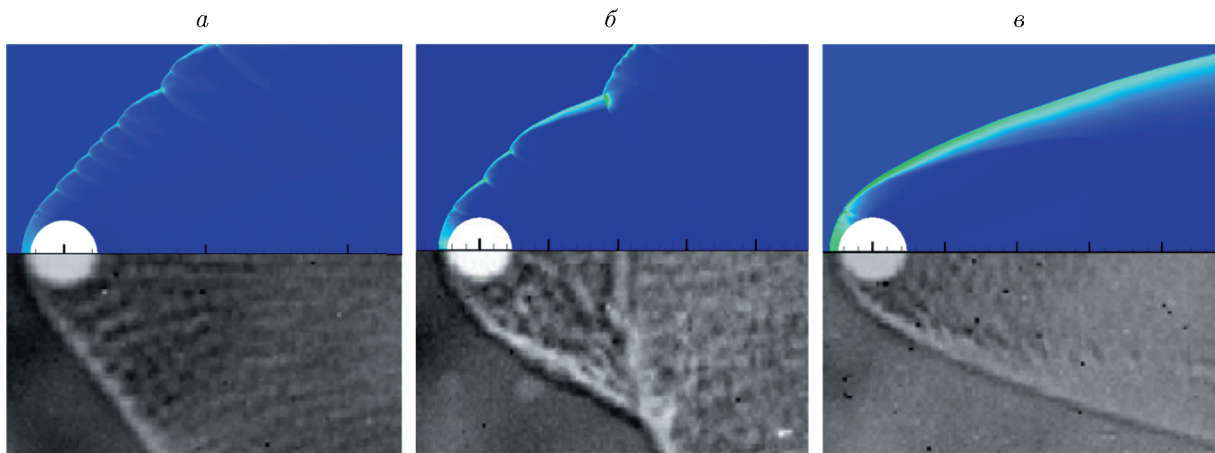


Рис. 5. Схема моделируемой области

Рис. 6. Режимы горения (*в*) и детонации (*а, б*) ацетиленокислородной смеси: результаты расчета (вверху) и экспериментальные теневые фотографии (внизу)

скорость $v_p = 1.21D_{CJ}$, статическая температура $T_{st} = 281 \div 286$ К, статическое давление $p_{st} = 21.1 \div 40.5$ кПа. Диаметр БЛТ составлял $d = 4.763$ мм.

На рис. 6 приведено сравнение полученных численно режимов наклонных ДВ (*а, б*) и ударно-инициированного горения (*в*) с экспериментальными теневыми изображениями из работы [28]. Получено хорошее количественное и качественное согласие расчетных (поля плотности сверху на рис. 6) и экспериментальных данных (теневые фотографии снизу на рис. 6). Показаны стабилизированная наклонная ДВ с прямолинейным профилем при давлении 40.5 кПа (*а*), стабилизированная наклонная ДВ типа «соломенная шляпа» при давлении 31.4 кПа и режим ударно-инициированного горения при давлении 21.1 кПа. Помимо сходства картин течения, расчетные размеры детонационной ячейки близки к экспериментальным при каждом начальном давлении.

Далее проводилась оценка энергии инициирования детонации. В рассматриваемом случае инициирования наклонной детонации (цилиндрическая симметрия) критерий инициирования формулируется следующим образом [8]: работа сил аэродинамического сопротивления на единице длины при движении БЛТ по взрывчатой смеси должна превышать минимальную энергию цилиндрического инициирования многофронтовой детонации. В предыдущих исследованиях [2, 3] подобная оценка проводилась для водородокислородных смесей. В работе [3] дано подробное описание используемого подхода. В настоящей

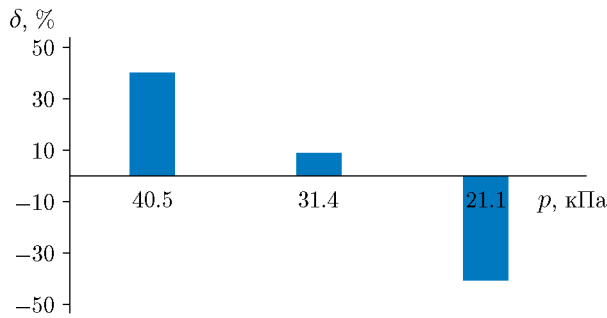


Рис. 7. Отклонение подводимой энергии от критической для БЛТ диаметром $d = 4.763$ мм при $p_{st} = 21.1 \div 40.5$ кПа

работе рассчитывалось отклонение подводимой энергии от критической по формуле

$$\delta = \frac{E_{\text{подв}} - E_{\text{кр}}}{E_{\text{кр}}} \cdot 100 \%,$$

где $E_{\text{подв}}$ — работа сил аэродинамического сопротивления на единице длины, $E_{\text{кр}}$ — минимальная энергия цилиндрического инициирования многофронтовой детонации.

Диаграмма на рис. 7 иллюстрирует отклонение подводимой энергии от критической по результатам расчета, представленным на рис. 6. Оценка энергии инициирования показывает, что при инициировании стабилизированной наклонной детонации при давлении $p_{st} = 40.5$ кПа (см. рис. 6, *a*) подводимая энергия почти на 40 % превышает критическое значение. Уменьшение начального давления $p_{st} = 31.4$ кПа приводит к увеличению размера детонационной ячейки в смеси и, как следствие, критической энергии инициирования детонации. В результате реализуется режим «соломенная шляпа» со стабилизированной наклонной ДВ (см. рис. 6, *б*), при котором отклонение подводимой энергии от критической составляет около 10 %. При дальнейшем уменьшении начального давления до $p_{st} = 21.1$ кПа критическая энергия инициирования детонации оказывается значительно выше работы сил аэродинамического сопротивления, что приводит к невозможности инициирования детонации и реализации режима ударно-инициированного горения (см. рис. 6, *в*).

Проведена оценка энергии инициирования детонации в стехиометрической ацетиленовоздушной смеси и последующее моделирование инициирования наклонной ДВ быстроролящим телом в диапазоне диаметров БЛТ (шара) $d = 20 \div 50$ мм при скоростях

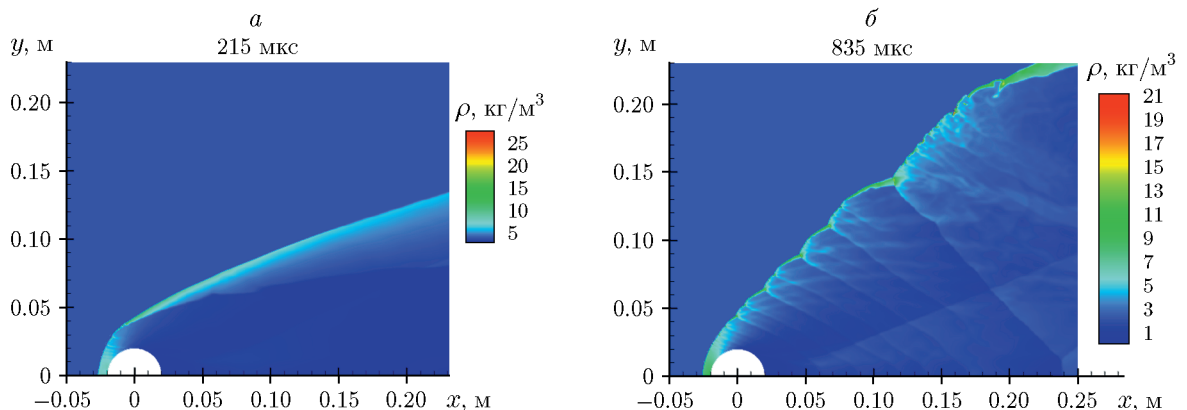


Рис. 8. Поля плотности при $v_p = 1.24D_{\text{CJ}}$ (*a*) и $v_p = 1.3D_{\text{CJ}}$ (*б*)

$1.24 \div 1.3$ от скорости Чепмена — Жуге при давлении 200 кПа. Прямое инициирование наклонной детонации происходит при скорости $1.3D_{CJ}$ и диаметре шара не менее 40 мм. Столь большие размеры тела связаны с тем, что детонационная ячейка в данном случае — сильнонерегулярная. Размер детонационной ячейки этой смеси находится в диапазоне $4 \div 8$ мм. Ранее проведенные исследования показали, что для прямого инициирования наклонной детонации диаметр тела должен превышать размер ячейки примерно в три раза. Таким образом, можно сделать вывод, что для сильноустойчивой детонации размер тела, необходимый для прямого инициирования наклонной детонации, нужно оценивать по верхнему пределу размера детонационной ячейки. На рис. 8 представлены расчетные поля плотности при инициировании детонации телом диаметром 40 мм в двух случаях: при $v_p = 1.24D_{CJ}$ и $v_p = 1.3D_{CJ}$. Результаты предварительной оценки энергии инициирования детонации показывают, что в первом случае подводимая энергия меньше критической примерно на 5 % и реализуется режим ударно-инициированного горения (рис. 8, а), во втором же случае, наоборот, подводимая энергия превышает критическую на 5 % и реализуется режим наклонной детонации. Таким образом, изменяя подводимую энергию на 10 %, можно добиться инициирования и стабилизации наклонной детонации. Стоит отметить, что в случае ацетиленовоздушной смеси в наклонной ДВ наблюдается значительная нерегулярность детонационной ячейки и, как следствие, значительная нестационарность получаемых структур наклонной ДВ. В процессе развития течения возможно образование двух различных режимов наклонной ДВ, которые с течением времени будут сменять друг друга. На рис. 8 видно, как режим «соломенная шляпа» сменяется наклонной ДВ с прямолинейным профилем.

ВЫВОДЫ

– Разработана численная методика расчета инициирования и стабилизации детонации быстролетящим телом в ацетиленокислородных смесях, разбавленных аргоном или азотом, на базе расчетного комплекса ANSYS Fluent.

– Выполнена верификация кинетической схемы химических реакций горения ацетилена в кислороде по экспериментальным данным о времени задержки воспламенения, скорости распространения детонации и размерах детонационной ячейки смеси.

– Проведено тестирование математической модели по экспериментальным данным о формировании режимов наклонных детонационных волн в стехиометрической ацетиленокислородной смеси, разбавленной аргоном. Получены три режима: 1) стабилизированная наклонная детонационная волна при давлении 40.5 кПа; 2) стабилизированная наклонная детонационная волна типа «соломенная шляпа» при давлении 31.4 кПа; 3) режим ударно-инициированного горения при давлении 21.1 кПа.

– Выполнена оценка энергии инициирования детонации, возбуждаемой быстролетящим телом, в ацетиленокислородной смеси, разбавленной аргоном. Анализ полученных результатов показал хорошее согласование расчетных данных с аналитической моделью.

– На основе аналитической зависимости проведена оценка энергии инициирования детонации ацетиленовоздушной смеси быстролетящим телом в зависимости от скорости полета тела. Результаты последующих расчетов режимов наклонной детонации показали согласование получаемых численных результатов с аналитическими оценками.

ФИНАНСИРОВАНИЕ РАБОТЫ

Исследование выполнено при финансовой поддержке Российского научного фонда (проект № 22-29-00861, <https://rscf.ru/project/22-29-00861/>).

ЛИТЕРАТУРА

1. **Бедарев И. А., Темербеков В. М., Федоров А. В.** Моделирование режимов наклонных детонационных волн, возникающих при инициировании детонации снарядом малого диаметра // Теплофизика и аэромеханика. — 2019. — Т. 26, № 1. — С. 63–73. — EDN: PMKQOO.
2. **Bedarev I. A., Temerbekov V. M.** Estimation of the energy of detonation initiation in a hydrogen-oxygen mixture by a high-velocity projectile // Thermal Sci. — 2021. — V. 25, N 5. — P. 3889–3897. — DOI: 10.2298/TSCI210115180B.
3. **Бедарев И. А., Сыроватень А. А., Темербеков В. М.** Численное моделирование формирования наклонной детонации быстролетящим телом в водород-воздушной смеси // Физика горения и взрыва. — 2024. — Т. 60, № 1. — С. 18–28. — DOI: 10.15372/FGV2022.9237. — EDN: JAUALK.
4. **Powers J. M.** Oblique detonations: theory and propulsion applications // Combustion in High-Speed Flows / J. Buckmaster, T. L. Jackson, A. Kumar (Eds). — Dordrecht: Springer, 1994. — V. 1. — P. 345–371. — (ICASE/LaRC Interdisciplinary Series in Science and Engineering). — DOI: 10.1007/978-94-011-1050-1_12.
5. **Зельдович Я. Б., Шляпинтох В. Я.** Воспламенение взрывчатых газовых смесей в ударных волнах // Докл. АН СССР. — 1949. — Т. 65. — С. 871–874.
6. **Gilinskii S. M., Zapryanov Z. D., Chernyi G. G.** Supersonic flow of a combustible gas mixture past a sphere // Fluid Dynamics. — 1966. — V. 1, N 5. — P. 4–8. — DOI: 10.1007/BF01022141.
7. **Левин В. А., Марков В. В.** Возникновение детонации при концентрированном подводе энергии // Физика горения и взрыва. — 1975. — Т. 11, № 4. — С. 623–633.
8. **Васильев А. А.** Основные результаты исследований детонационного горения газовых смесей, возбуждаемого быстролетящим телом // Физика горения и взрыва. — 1997. — Т. 33, № 5. — С. 85–102. — EDN: YJPIF
9. **Журавская Т. А., Левин В. А.** Стабилизация детонационного горения высокоскоростного потока горючей газовой смеси в плоском канале // Изв. РАН. МЖГ. — 2015. — № 2. — С. 117–128. — EDN: TOMRMZ.
10. **Миллер С. А.** Ацетилен, его свойства, получение и применение. — Л.: Химия, 1969. — Т. 1.
11. **Мансуров З. А.** Сажеобразование в процессах горения (обзор) // Физика горения и взрыва. — 2005. — Т. 41, № 6. — С. 137–156. — EDN: NXVGPL.
12. **Мансуров З. А.** Получение наноматериалов в процессах горения // Физика горения и взрыва. — 2012. — Т. 48, № 5. — С. 77–86. — EDN: PDIUEJ.
13. **Васильев А. А., Пинаев А. В.** Образование углеродных кластеров в волнах горения и детонации газовых смесей // Физика горения и взрыва. — 2008. — Т. 48, № 3. — С. 81–94. — EDN: JZGBVR.
14. **Штерцер А. А., Ульяницкий В. Ю., Батраев И. С., Громилов С. А., Окотруб А. В., Сапрыкин А. И.** Диагностика структуры и состава ультрадисперсного углерода, полученного детонационным способом // Журн. структур. химии. — 2014. — Т. 55, № 5. — С. 1031–1034. — DOI: 10.1134/S0022476614050291. — EDN: YGKZPJ.
15. **Шайтанов А. Г., Суровикин Ю. В., Резанов И. В., Штерцер А. А., Ульяницкий В. Ю., Васильев А. А., Лихолобов В. А.** Получение и исследование нанодисперсного углерода при сжигании ацетилена в проточной детонационной трубе // Журн. прикл. химии. — 2018. — Т. 91, № 12. — С. 1751–1759. — DOI: 10.1134/S0044461818120095. — EDN: SLLYIH.
16. **Гавриленко Т. П., Ульяницкий В. Ю.** Использование пропан-бутана в установках детонационного напыления // Физика горения и взрыва. — 2011. — Т. 47, № 1. — С. 92–98. — EDN: NRFVJT.

17. Солоухин Р. И. Детонация ацетилена // ПМТФ. — 1960. — Т. 1, № 1. — С. 18–20.
18. Емельянов А. В., Еремин А. В., Фортов В. Е. Формирование детонационной волны при термическом разложении ацетилена // Письма в ЖЭТФ. — 2010. — Т. 92, № 2. — С. 101–105. — EDN: MTAZZN.
19. Богман Л. П., Простов Е. Н., Зуйков В. А., Кондратюк Н. В., Зуйков А. В. Основы предотвращения горения и детонации ацетилена в оборудовании // Материалы XXXV междунар. науч.-практич. конф. «Актуальные проблемы пожарной безопасности». — М., 2023. — С. 470–477.
20. Яковенко И. С., Ярков А. В., Тюрнин А. В., Тереза А. М., Новицкий А. О., Крикошеев П. Н. Оценка возможностей современных кинетических механизмов окисления ацетилена для моделирования нестационарных процессов горения // Вестн. МГТУ им. Н. Э. Баумана. Сер. Естеств. науки. — 2022. — № 5 (104). — С. 62–85. — DOI: 10.18698/1812-3368-2022-5-62-85. — EDN: WKPCXX.
21. Бедарев И. А., Рылова К. В., Федоров А. В. Применение детальных и приведенных кинетических схем для описания детонации водородовоздушных смесей с разбавителем // Физика горения и взрыва. — 2015. — Т. 51, № 5. — С. 22–33. — DOI: 10.15372/FGV20150503. — EDN: UMUJFX.
22. Tropin D. A., Bedarev I. A. Problems of detonation wave suppression in hydrogen-air mixtures by clouds of inert particles in one- and two-dimensional formulation // Combust. Sci. Technol. — 2021. — V. 193, N 2. — P. 197–210. — DOI: 10.1080/00102202.2020.1763323.
23. Eiteneer B., Frenklach M. Experimental and modeling study of shock-tube oxidation of acetylene // Int. J. Chem. Kinet. — 2003. — V. 35, N 9. — P. 391–414. — DOI: 10.1002/kin.10141.
24. Fournet R., Bauge J. C., Battin-Leclerc F. Experimental and modeling of oxidation of acetylene, propyne, allene and 1,3-butadien // Int. J. Chem. Kinet. — 1999. — V. 31, N 5. — P. 361–379. — DOI: 10.1002/(SICI)1097-4601(1999)31:5<361::AID-KIN6>3.0.CO;2-K.
25. Hidaka Y., Hattori K., Okuno T., Inami K., Abe T., Koike T. Shock-tube and modeling study of acetylene pyrolysis and oxidation // Combust. Flame. — 1996. — V. 107, N 4. — P. 401–417. — DOI: 10.1016/S0010-2180(96)00094-6.
26. Lokachari N., Burke U., Ramalingam A., Turner M., Hesse R., Somers K. P., Beeckmann J., Heufer K. A., Petersen E. L., Curran H. J. New experimental insights into acetylene oxidation through novel ignition delay times, laminar burning velocities and chemical kinetic modeling // Proc. Combust. Inst. — 2019. — V. 37, N 1. — P. 583–591. — DOI: 10.1016/j.proci.2018.07.027.
27. Льюис Б., Эльбе Г. Горение, пламя и взрывы в газах. — М.: Мир, 1968.
28. Maeda S., Inada R., Kasahara J., Matsuo A. Visualization of the non-steady state oblique detonation wave phenomena around hypersonic spherical projectile // Proc. Combust. Inst. — 2011. — V. 33, N 2. — P. 2343–2349. — DOI: 10.1016/j.proci.2010.06.066.
29. Desbordes D. Transmission of overdriven plane detonations: Critical diameter as a function of cell regularity and size // Dynamics of Explosions / A. Borisov, A. L. Kuhl, J. R. Bowen, J.-C. Leyer (Eds). — 1988. — V. 114. — P. 170–185. — DOI: 10.2514/5.9781600865886.0170.0185.
30. Bull D. C., Elsworth J. E., Shuff P. J. Metcalfe E. Detonation cell structures in fuel/air mixtures // Combust. Flame. — 1982. — V. 45, N 1. — P. 7–22. — DOI: 10.1016/0010-2180(82)90028-1.
31. Knystautas R., Guirao C., Lee J. H., Sulmistras A. Measurement of cell size in hydrocarbon-air mixtures and predictions of critical tube diameter, critical initiation energy, and detonability limits // Dynamics of Shock Waves, Explosions, and Detonations / R. I. Soloukhin, A. K. Oppenheim, N. Manson, J. R. Bowen (Eds). — 1985. — V. 94. — P. 23–37. — DOI: 10.2514/5.9781600865695.0023.0037.

32. **Tieszen S. R., Stamps D. W., Westbrook C. K., Pitz W. J.** Gaseous hydrocarbon-air detonations // Combust. Flame. — 1991. — V. 84, N 3-4. — P. 376–390. — DOI: 10.1016/0010-2180(91)90013-2.
33. **Knystautas R., Lee J. H., Guirao C. M.** The critical tube diameter for detonation failure in hydrocarbon-air mixtures // Combust. Flame. — 1982. — V. 48, N 1. — P. 63–83. — DOI: 10.1016/0010-2180(82)90116-X.
34. **Lee J. H. S., Knystautas R., Guirao C.** The link between cell size, critical tube diameter, initiation energy and detonability limits // Fuel-Air Explosions / J. H. S. Lee, C. M. Guirao (Eds). — Waterloo: Univ. of Waterloo Press, 1982. — P. 157–187.
35. **Murray S. B., Lee J. H.** The influence of physical boundaries on gaseous detonation waves // Dynamics of Explosions / J.-C. Leyer, R. I. Soloukhin, J. R. Bowen (Eds). — 1986. — V. 106. — P. 329–355. — DOI: 10.2514/5.9781600865800.0329.0355.

Поступила в редакцию 17.10.2023.

После доработки 10.11.2023.

Принята к публикации 29.11.2023.
